

УДК 544.723

## ОСОБЕННОСТИ ПОЛИИМИДНЫХ ПЛЕНОК С МОЛЕКУЛЯРНЫМИ ОТПЕЧАТКАМИ ЭРИТРОЗИНА И ИНДИГОКАРМИНА

© 2024 г. С. А. Хальзова<sup>1,\*</sup>, А. Н. Зяблов<sup>2</sup>, А. Ю. Выборный<sup>2</sup>

<sup>1</sup>Муниципальное унитарное предприятие “Очистные сооружения” Борисоглебского городского округа Воронежской области, ул. Привольная, 2а, Борисоглебск, Борисоглебский район, Воронежская область, 397166 Россия

<sup>2</sup>Воронежский государственный университет Министерства науки и высшего образования Российской Федерации, Университетская пл., 1, Воронеж, 394018 Россия

\*e-mail: ahalzov@mail.ru

Поступила в редакцию 26.11.2023 г.

После доработки 22.12.2023 г.

Принята к публикации 25.12.2023 г.

Получены полииimidные пленки с молекулярными отпечатками эритрозина и индигокармина. Методами сканирующей силовой микроскопии и ИК-спектроскопии изучены структура и морфология поверхности пленок. Установлено, что в полимерах с молекулярными отпечатками (ПМО) увеличивается шероховатость поверхности, при этом высота рельефа составляет 3–4 нм, удаление молекул темплата приводит к перераспределению в полимерах с молекулярными отпечатками пор по размеру. Сорбцию красителей пленками ПМО проводили в статических условиях. Рассчитаны степени извлечения и импринтинг-фактор для полимеров с молекулярными отпечатками красителей, полученные высокие их величины указывают на избирательность ПМО к целевой молекуле темплата.

**Ключевые слова:** полииimidы, полимеры с молекулярными отпечатками (ПМО), полимер сравнения (ПС), красители, импринтинг-фактор, гидрато-разделенная пара

**DOI:** 10.31857/S0023291224020138, **EDN:** DFRHMF

### ВВЕДЕНИЕ

Полииimidы и полимеры на основе полииimидокислоты нашли применение в биотехнологии, медицине, электротехнике, а также в качестве основы для различных термо- и биостойких материалов и композитов [1, 2]. Отличительной чертой полииimидов является одновременное содержание нескольких различных функциональных групп, а именно амидных, карбоксильных, а также аминогрупп. Совокупность этих структурных элементов дает возможность изменять полимерную цепь, благодаря способности создавать разные сополимеры, а также дает возможность конструировать полимеры, селективные к биоактивным веществам пленки [3, 4]. Отмечается, что полииimidы обладают диэлектрическими свойствами, химической стойкостью, хорошо поддаются микрообработке [5–7]. Для решения аналитических и природоохранных задач, проблем медицины и биохимии требуется получение новых универсальных, селективных и экологически безопасных материалов, которые могут быть использованы в качестве сорбентов, химических и биологических сенсоров, материалов для адресной транспортировки лекарственных веществ [8, 9].

Так, в частности, для создания селективных сенсоров могут быть использованы полимеры с молекулярными отпечатками (ПМО) на основе полииimидов, что позволяет селективно определять в растворах целевые молекулы веществ [10–13].

В процессе синтеза полимеров с молекулярными отпечатками между полимерной сеткой и молекулами–шаблонами (темплатами) происходят взаимодействия за счет образования ковалентных или нековалентных связей. Последующее удаление темплата приводит к образованию полостей, причем их форма, размер и расположение функциональных групп соответствуют используемому темплату. Благодаря “молекулярной памяти”, заложенной в полимерной матрице, эти полости способны к повторному взаимодействию с темплатом [14–16]. Наличие полостей позволяет использовать ПМО как носители лекарственных средств, что значительно расширяет возможности их применения для решения аналитических, медицинских задач и биотехнологий.

Синтетические красители широко используются в пищевой и медицинской индустрии. Содержание красителей строго регламентировано,

но если в пищевой промышленности ведется контроль, то в фармацевтической промышленности строгого учета содержания красителей нет. Эритрозин и индигокармин используют для окраски оболочек таблеток, биотканей, в стоматологии. Эритрозин запрещен для применения в пищевой промышленности, но не в фармакологии.

Применение ПМО в качестве селективного слоя сенсоров значительно расширяет спектр возможностей определения красителей в пищевых матрицах, лекарственных препаратах и др. [17–20].

Таким образом, целью работы было получение полииимида пленок с молекулярными отпечатками эритрозина и индигокармина, исследование их сорбционных свойств, морфологии поверхности и межмолекулярных взаимодействий с молекулами темплата.

## ЭКСПЕРИМЕНТАЛЬНАЯ ЧАСТЬ

Для синтеза полимеров с молекулярными отпечатками использовали сополимер 1,2,4,5-бензотетракарбоновой кислоты с 4,4'-диаминодифенилосидом (ТУ-6-19-283-85, ОАО МИПП НПО “Пластик”). Шаблонами (темплатами, Т) были синтетические красители (85%, “Люмекс”): эритрозин (Е127) и индигокармин (Е132). Предполимеризационную смесь (ППС) и водно-этанольный раствор красителя (1 мг/см<sup>3</sup>) в объемном соотношении (ППС:Т = 1:1) наносили на керамическую подложку, нагревали при 80°C в течение 1 ч в сушильном шкафу LF-25 (АО “ЛОИП”, г. Санкт-Петербург), затем нагревание продолжали при 180°C в течение 30 мин, что приводит к образованию полииимида по двухстадийной схеме, описанной в работах [21–23]. Далее полученные пленки помещали в дистиллированную воду на 24 ч для удаления темплата. В аналогичных условиях были получены неимпринтированные полимеры (полимеры сравнения).

Толщина полученных пленок измерена эллипсометром ЛЭФ-754 с рабочей длиной волны излучения HeNe лазера – 632.8 нм и составила 1–1.2 мкм.

ИК-спектры полученных полимеров снимали на приборе VERTEX-70 “Брукер” (Германия). Морфологию поверхности пленок исследовали сканирующим силовым микроскопом (ССМ) Solver P47 PRO, (г. Зеленоград). Сканирование образцов проводили в полуkontakteчном режиме зондом длиной 87 ± 2 мкм фирмы NT-MDT модели НА\_NC, жесткость 3.5 Н/м. Обработку изображений проводили в программе FemtoScan Online [24].

Для оценки способности полученных полимеров сорбировать красители из водных растворов использовали метод переменных концентраций. Зависимости представляли в координатах изотерм

сорбции  $A = f(C_{\text{равн}})$ . Навески полимеров массой 0.015 г помещали в 5 см<sup>3</sup> водного раствора красителя, при постоянном перемешивании термостатировали 15–30 мин при температуре 20°C, после чего проводили определение оптической плотности раствора при характеристической длине волн (Е127 – 526 нм, Е132 – 610 нм) на спектрофотометре ПЭ-5300В (“Промэколаб”, г. Санкт-Петербург). Время установления сорбционного равновесия для красителя Е127 составляет 15 мин, а для красителя Е132 – 30 мин.

Сорбционную способность ПМО изучали в статических условиях путем контроля степени извлечения из водного раствора и коэффициента распределения красителя. Степень извлечения ( $R, \%$ ) красителей из раствора определяли по уравнению:

$$R, \% = \frac{C_0 - C}{C_0} \cdot 100\%,$$

где  $C_0$  – концентрация определяемого красителя в водном растворе перед сорбицией, г/дм<sup>3</sup>;  $C$  – концентрация красителя в растворе после сорбции, г/дм<sup>3</sup>.

Коэффициенты распределения ( $D$ ) красителей находили по уравнению:

$$D = \frac{R, \%}{(100 - R, \%)} \cdot \frac{V}{m},$$

где  $V$  – объем анализируемого раствора, дм<sup>3</sup>,  $m$  – масса навески сорбента, г.

Для оценки способности сорбента с молекулярными отпечатками распознавать краситель по сравнению с неимпринтированным полимером рассчитывали импринтинг-фактор:

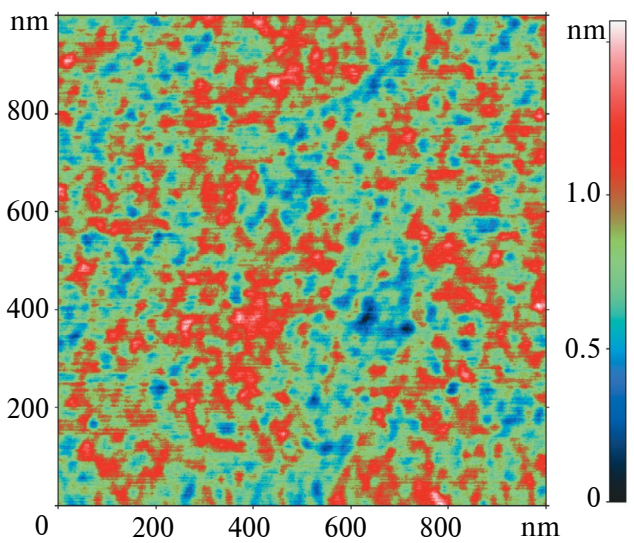
$$IF = \frac{D_{\text{ПМО}}}{D_{\text{ПС}}},$$

где  $D_{\text{ПМО}}$  – коэффициент распределения вещества на полимере с молекулярными отпечатками,  $D_{\text{ПС}}$  – коэффициент распределения вещества на неимпринтированном полимере (полимере сравнения, ПС) [25].

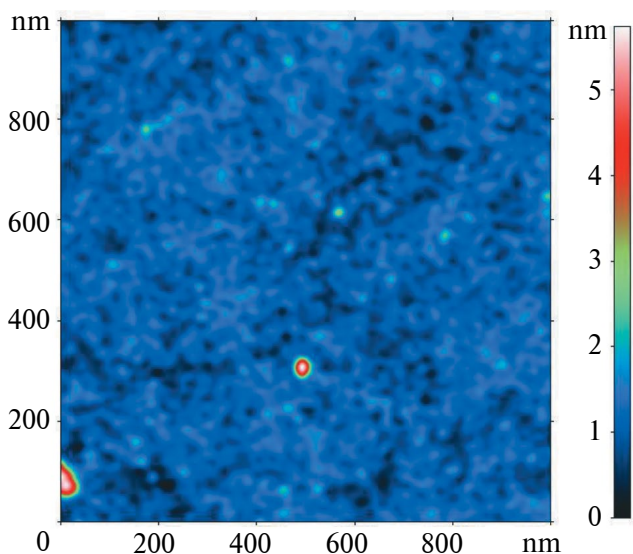
По экспериментально установленной максимальной сорбционной емкости ПМО были рассчитаны удельная поверхность полимера  $S_{\text{уд}}$  [26] и площади проекции молекул красителей на поверхность сорбента ( $S_i$ ) [27] по формуле:

$$S_i = \frac{S_{\text{уд}} \cdot 10^{21}}{A_m \cdot N_A},$$

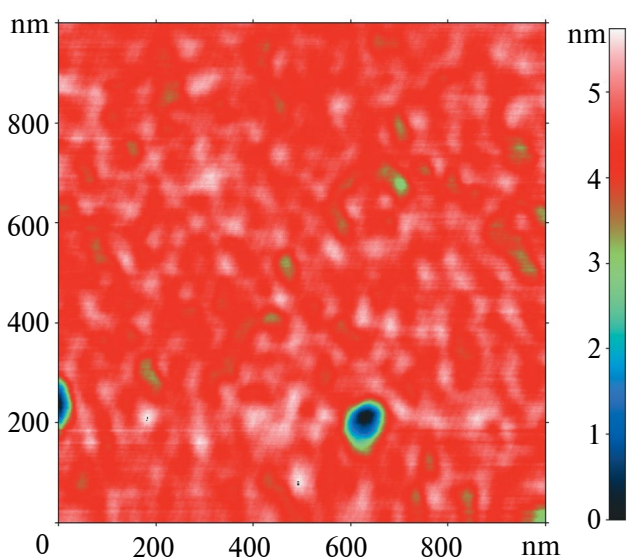
где  $S_{\text{уд}}$  – удельная поверхность полимера м<sup>2</sup>/г,  $A_m$  – максимальная сорбционная емкость ммоль/г,  $N_A$  – число Авогадро,  $6.02 \times 10^{23}$  моль<sup>-1</sup>.



**Рис. 1.** ССМ-изображение поверхности пленки на основе полииамида (ПС).



**Рис. 2.** ССМ-изображение поверхности пленки полимера с молекулярным отпечатком красителя Е127.



**Рис. 3.** ССМ-изображение поверхности пленки полимера с молекулярным отпечатком красителя Е132.

## РЕЗУЛЬТАТЫ И ОБСУЖДЕНИЕ

В результате анализа поверхности полииамидной пленки без добавления красителя с помощью ССМ выявлено, что высота рельефа составляет 0.5–1.5 нм с содержанием микропор 69.9% (рис. 1). В то же время анализ морфологии пленок ПМО показал, что происходит небольшое изменение количества пор и их размера (табл. 1) с преобладанием микропор, увеличивается шероховатость поверхности (табл. 2). При этом пленки

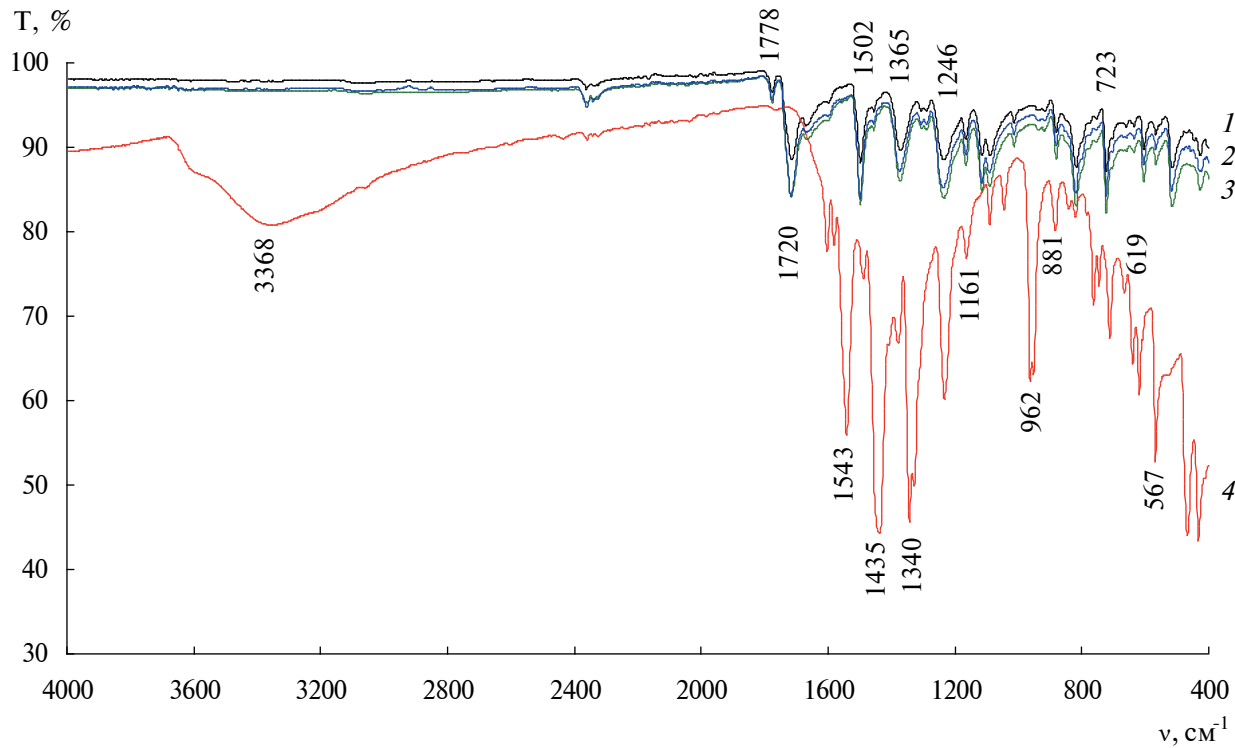
**Таблица 1.** Содержание пор (%) в синтезированных полимерных пленках

Классификация пор $r$ , нм			
	ПАК	ПМО-Е127	ПМО-Е132
ультра-	1–10	нет	нет
микро-	10–25	69.9	76.2
мезо-	25–50	26.6	22.9
макро-	>50	3.5	0.9

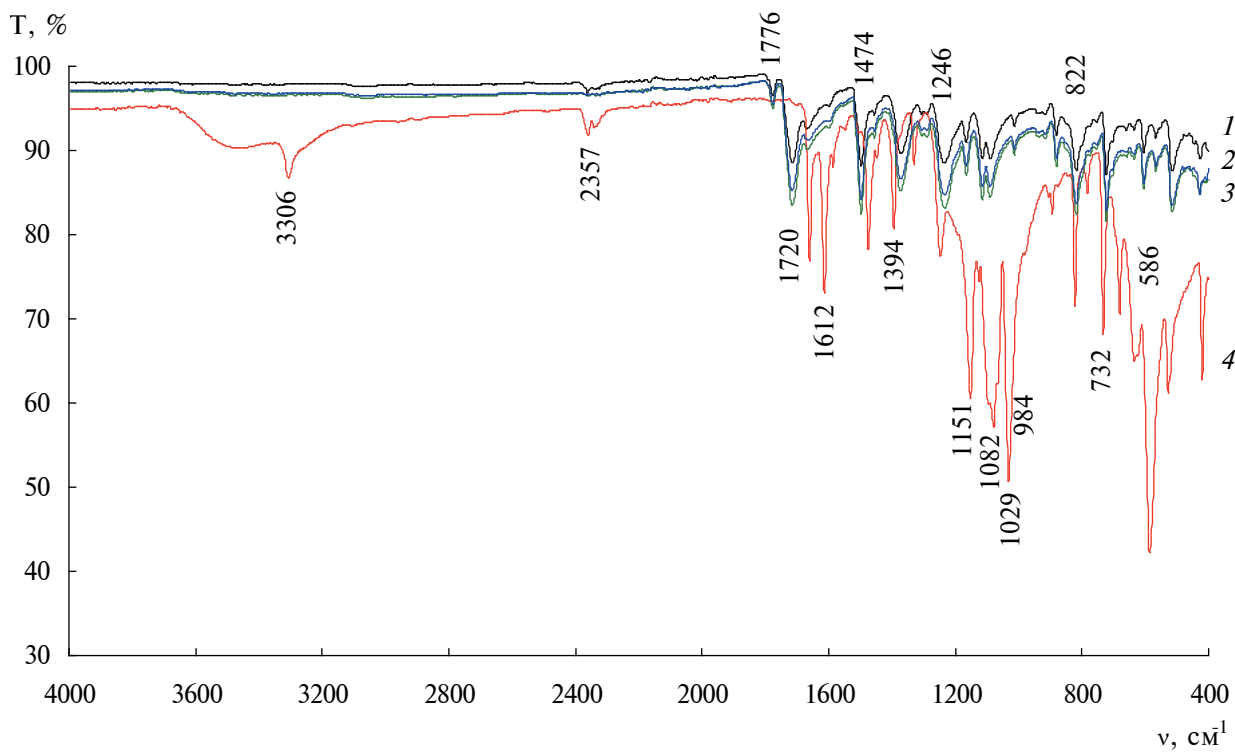
**Таблица 2.** Параметры шероховатости поверхности полииамидных пленок

Пленка	Наибольшая высота рельефа, $S_{\max}$ , нм	Среднегарифметическое отклонение рельефа, $S_a$ , нм	Высота неровностей рельефа по 10 точкам, $S_z$ , нм
ПАК	1.48	0.13	0.16
ПМО-Е127	5.52	0.44	0.61
ПМО-Е132	2.65	0.45	0.56

ПМО-Е127 (рис. 2) и ПМО-Е132 (рис. 3) имеют незначительное количество дефектов поверхности, а высота рельефа составляет 3–4 нм. Таким образом, после удаления молекулы темплага на поверхности пленки остаются полости (молекулярные



**Рис. 4.** ИК-спектр красителя эритрозина (E127) и полимерных пленок на основе полииамида: 1 – чистый полимер; 2 – полимер после удаления красителя; 3 – полимер с красителем; 4 – краситель.



**Рис. 5.** ИК-спектр красителя индигокармина (E132) и полимерных пленок на основе полииамида: 1 – чистый полимер; 2 – полимер после удаления красителя; 3 – полимер с красителем; 4 – краситель.

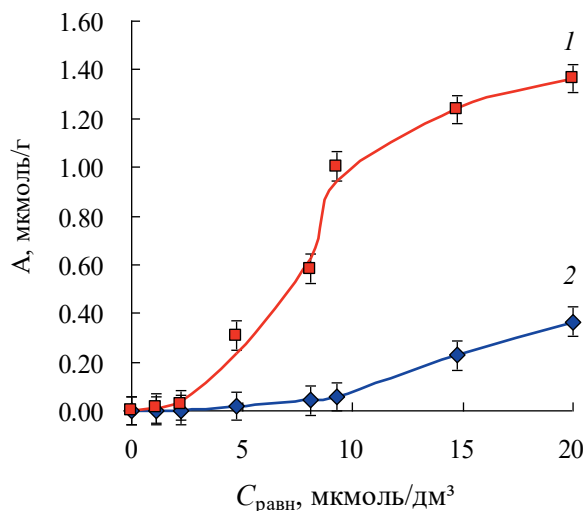


Рис. 6. Изотерма сорбции красителя эритрозина (E127) (pH 6.90): 1 – ПМО-Е127; 2 – ПС.

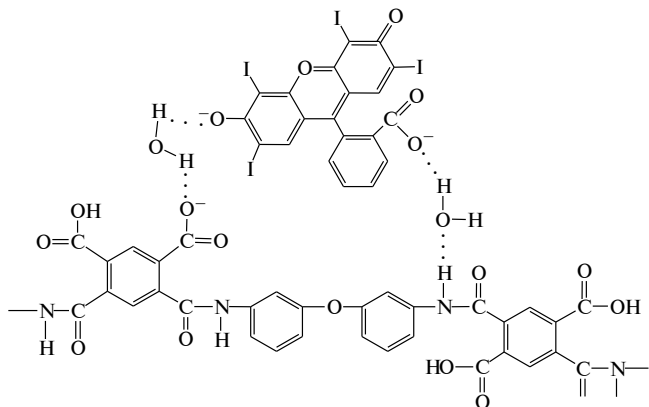


Рис. 7. Схема образования водородных связей молекул эритрозина Е127 и полииамида.

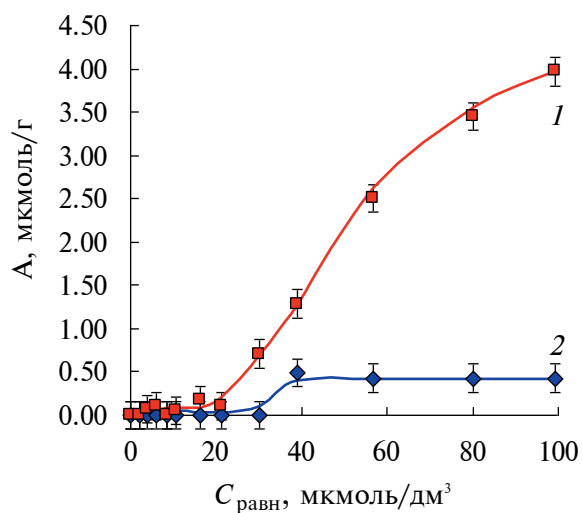


Рис. 8. Изотерма сорбции красителя индигокармина (E132) (pH 6.99): 1 – ПМО-Е132; 2 – ПС.

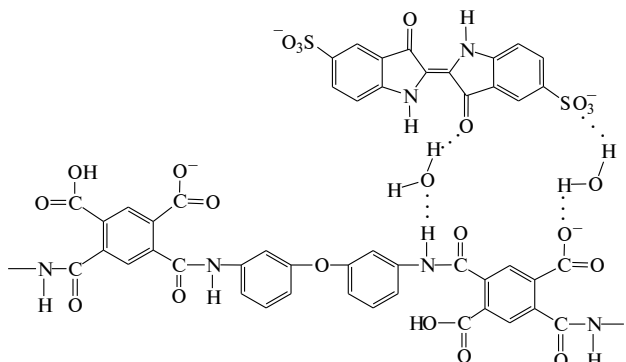


Рис. 9. Схема образования водородных связей молекул индигокармина Е132 и полииамида.

отпечатки), которые комплементарны по форме и размеру, а также по расположению функциональных групп в молекуле красителя.

Структурно-групповой анализ, проведенный по ИК-спектрам полимеров, выявил увеличение интенсивности характеристических полос пропускания для полииамида с молекулами-шаблонами и отсутствие существенных изменений в ИК-спектрах ПМО и их полимеров сравнения (рис. 4, 5).

По данным сорбции красителей исследованными полимерами установлено, что из-за слабого взаимодействия между молекулами растворителя и эритрозина Е127 (рис. 6) изотерма S-типа

(по классификации Ч. Джайлса) [28] характеризуется вогнутой линией относительно оси концентрации. Параллельная ориентация молекул красителя Е127 относительно поверхности пленки при малых концентрациях приводит к занятию активных центров полимера [28]. Сорбция Е127 на поверхности полииамида (рис. 7) может проходить за счет образования водородной связи между функциональной группой красителя и водой ( $2364 \text{ см}^{-1}; \text{COO}^- \cdots \text{H}_2\text{O}$ ) и водой и функциональной группой полииамида ( $1373 \text{ см}^{-1}; =\text{NH} \cdots \text{H}_2\text{O}$ ) (рис. 4) [29, 30].

В случае с индигокармином Е132 (рис. 8) из-за взаимодействия красителя с растворителем

**Таблица 3.** Характеристики адсорбции красителя ПМО и ПС ( $n = 5$ ,  $P = 0.95$ )

Сорбент	Краситель	$R, \%$	$S_r, \%$	$D, \text{дм}^3/\text{г}$	$S_r, \%$	$IF$	$S_r, \%$
ПС ПМО-Е127	E127	18.1 ± 0.9	3.8	0.0150 ± 0.0007	3.5	7.3	4.1
		79.3 ± 4.3	4.3	0.110 ± 0.005	3.8		
ПС ПМО-Е132	E132	4.4 ± 0.2	3.7	0.0121 ± 0.0006	3.8	3.7	4.1
		88.1 ± 3.2	2.9	0.044 ± 0.002	3.2		

**Таблица 4.** Максимальная емкость ( $A_m$ ) и площадь поверхности  $S_i$  сорбента, приходящаяся на молекулу красителя

Краситель	$S_0, \text{нм}^2$	$X_m, \text{мг}/\text{г}$	$a, \text{нм}^2$	$S_{уд}, \text{м}^2/\text{г}$	$A_m, \text{мкмоль}/\text{г}$	$S_i, \text{нм}^2$
Эритрозин, Е127	6.24	1.01	1.41	1.07	1.36	1.31
Индигокармин, Е132	4.08	1.35	0.92	1.78	3.97	0.74

Примечание:  $X_m$  – величина монослойной адсорбции;  $a$  – площадь “посадочной площадки” одной молекулы,  $S_0$  – площадь одной молекулы.

сорбция его незначительна до концентрации 25 мкмоль/дм<sup>3</sup>, затем она резко увеличивается, что описывается изотермой V-типа (классификация по IUPAC) [28, 31]. Анализ ИК-спектров показал, что сорбция Е132 на поверхности полииамида проходит через гидрато-разделенную пару, как и при сорбции эритрозина, о чем свидетельствуют полосы пропускания характеристических частот колебаний функциональных групп красителя и воды (1117 см<sup>-1</sup>; SO<sub>3</sub><sup>-</sup> ... H<sub>2</sub>O) или (1612 см<sup>-1</sup>; >C=O ... H<sub>2</sub>O), а также воды и функциональных групп полииамида (2357 см<sup>-1</sup>; COO<sup>-</sup> ... H<sub>2</sub>O) или (1365 см<sup>-1</sup>; = NH ... H<sub>2</sub>O) (рис. 5, 9) [29, 30].

Сорбционные характеристики для полученных полимеров представлены в табл. 3. Для полимеров сравнения (ПС) значения коэффициентов распределения на порядок ниже, чем для ПМО красителей. Для ПМО красителей характерны высокие значения степеней извлечения и импринтинг-фактор, что указывает на селективность к молекуле красителя.

В результате плотного заполнения поверхности полииамидной пленки молекулами эритрозина и индигокармина их площади проекций ( $S_i$ ) не сильно отличаются от рассчитанных значений площадей молекул ( $a$ ) (табл. 4), что указывает на увеличение дисперсионного взаимодействия с активными центрами поверхности и сохранение образовавшихся Н-связей между функциональными группами молекул красителя и молекулами воды. Вероятно, молекулы красителя в адсорбционном слое располагаются перпендикулярно относительно поверхности сорбента. Таким образом, сорбция красителей происходит за счет образования гидрато-разделенной пары между полииамидом (сорбентом) и красителем.

## ЗАКЛЮЧЕНИЕ

В работе определены равновесные характеристики сорбции красителей полииамидными пленками с молекулярными отпечатками. Изотермы сорбции имеют S-образную форму. Рассчитанные сорбционные характеристики и импринтинг-фактор свидетельствуют о том, что полимеры с молекулярными отпечатками на основе полииамида обладают наибольшей сорбируемостью молекул красителя, чем их полимеры сравнения. Рассчитанные характеристики площади проекции молекул красителя и данные ИК-спектроскопии указывают на их перпендикулярную ориентацию относительно поверхности сорбента, а также на образование водородных связей с полииамидом через гидрато-разделенную пару. Полученные пленки предполагается использовать в создании модифицированных сенсоров и сенсорных систем, которые могут быть использованы в научных исследованиях, а также применяться для анализа или очистки сточных вод.

## ФИНАНСИРОВАНИЕ РАБОТЫ

Работа выполнена без какой-либо финансовой поддержки.

## СОБЛЮДЕНИЕ ЭТИЧЕСКИХ СТАНДАРТОВ

В данной работе отсутствуют исследования человека или животных.

## КОНФЛИКТ ИНТЕРЕСОВ

Авторы данной работы заявляют, что у них нет конфликта интересов.

## СПИСОК ЛИТЕРАТУРЫ

1. Зуев В.В. Основы создания полимеров медицинского назначения. Университет ИТМО, 2022.
2. Адроева Н.А., Бессонов М.И., Лайус Л.А., Рудаков А.П. Полиимиды – новый класс термостойких полимеров. Ленинград: Наука, 1968.
3. Крутько Э.Т., Прокопчук Н.Р. Перспективные пути создания новых термостойких материалов на основе полииimidов // Труды БГТУ: Химия, технология органических веществ и биотехнология. 2013. № 4. С. 145–149.
4. Мишина А.А., Зяблов А.Н., Селеменев В.Ф. Моделирование полимеров с молекулярными отпечатками глицина на основе полиамидокислоты и коллоксилина // Известия высших учебных заведений. Сер. Химия и химическая технология. 2010. Т. 53. № 4. С. 20–24.
5. Jiang X., Sui X., Lu Y. et al. In vitro and in vivo evaluation of a photosensitive polyimide thin-film micro-electrode array suitable for epiretinal stimulation // Journal of Neuroengineering and Rehabilitation. 2013. V. 48. № 10. P. 1–12.  
<https://doi.org/10.1186/1743-0003-10-48>
6. Lago N., Yoshida K., Koch P.K. et al. Assessment of biocompatibility of chronically implanted polyimide and platinum intrafascicular electrodes // IEEE Transactions on Biomedical Engineering. 2007. V. 2. № 54. P. 281–290.  
<https://doi.org/10.1109/TBME.2006.886617>
7. Lee K.B., He J., Singh A. et al. Polyimide-based intracortical neural implant with improved structural stiffness // Journal of Micromechanics and Microengineering. 2004. V. 1. № 14. P. 32–37.  
<https://doi.org/10.1088/0960-1317/14/1/305>
8. Kanno M., Kawakami H., Nagaoka S. et al. Biocompatibility of fluorinated polyimide // Journal of Biomedical Materials Research. 2002. V. 1. № 60. P. 53–60.  
<https://doi.org/10.1002/jbm.1280>
9. Rusu R.D., Damaceanu M.D., Constantin P.C. Intelligent Polymers for Nanomedicine and Biotechnologies. Boca Raton: Taylor & Francis, 2018.
10. Зяблов А.Н., Калач А.В., Жиброва Ю.А., Селеменев В.Ф., Дьяконова О.В. Определение глицина в водных растворах пьезосенсором, модифицированным полимером с молекулярным отпечатком // Журн. аналит. химии. 2010. Т. 65. № 1. С. 93–95.  
<https://doi.org/10.1134/S106193481001017X>
11. Жиброва Ю.А., Зяблов А.Н., Селеменев В.Ф., Дьяконова О.В., Соколова С.А. Полимеры с молекулярными отпечатками для пьезокварцевых сенсоров. Сообщение 2. Анализ морфологии поверхности пленки коллоксилина // Сорбц. и хроматограф. процессы. 2008. Т. 8. № 5. С. 853–857.
12. Зяблов А.Н., Максимов М.С., Селеменев В.Ф., Жиброва Ю.А., Калач А.В. Анализ морфологии поверхности модифицированного пьезокварцевого резонатора // Сорбц. и хроматограф. процессы. 2006. Т. 6. № 5. С. 869–874.
13. Бондаревский А.С., Ермолаева Т.Н. Биомиметические сенсоры с рецепторными покрытиями на основе полимеров с молекулярными отпечатками // Сорбц. и хроматограф. процессы. 2007. Т. 7. № 1. С. 171–179.
14. Гендриксон О.Д., Жердев А.В., Дзантиеев Б.Б. Молекулярно-импринтированные полимеры и их применение в биохимическом анализе // Успехи биолог. химии. 2006. Т. 46. С. 149–192.
15. Ермолаева Т.Н., Чернышова В.Н., Бессонов О.И. Микро- и наночастицы полимеров с молекулярными отпечатками – синтез, характеристика и применение в пьезокварцевых сенсорах // Сорбц. и хроматограф. процессы. 2015. Т. 15. № 3. С. 345–365.
16. Благутина В.В. Отпечатки молекул // Химия и жизнь. 2011. № 3. С. 2–8.
17. Болотов В.М. Пищевые красители: классификация, свойства, анализ, применение. СПб.: ГИОРД, 2008.
18. Хальзова С.А., Кривоносова Д.А., Зяблов А.Н., Дуванова О.В. Определение синтетических красителей Е102, Е110, Е122 и Е124 в безалкогольных напитках модифицированными пьезосенсорами // Аналитика и контроль. 2017. Т. 21. № 2. С. 85–92.  
<http://dx.doi.org/10.15826/analitika.2017.21.2.006>
19. Hilal I., Ahmet K. Electrochemical determination of indigo carmine in food and water samples using a novel platform based on chiral amine-bis(phenolate) boron complex. Dyes and Pigments, 2022. Vol. 197.  
<https://doi.org/10.1016/j.dyepig.2021.109921>
20. Xiaoyu Z., Wenshuai H., Yanfei W. et al. Decoration of graphene with 2-aminoethanethiol functionalized gold nanoparticles for molecular imprinted sensing of erythrosine // Carbon. 2018. V. 127. P. 618–626.  
<https://doi.org/10.1016/j.carbon.2017.11.041>
21. Бессонов М.И., Котон М.М., Кудрявцев В.В., Лайус Л.А. Полиимиды – класс термостойких полимеров. Ленинград: Наука, 1983.
22. Бессонов М.И., Кузнецов Н.П., Котон М.М. О температурах переходов ароматических полииimidов и физических основах их химической классификации // Высокомолекул. соединения. 1978. Т. 20. № 2. С. 347–353.
23. Дьяконова О.В., Зяблов А.Н., Котов В.В., Елисеева Т.В., Селеменев В.Ф., Фролова В.В. Исследование состояния поверхности мембран на основе полииimidокислоты // Сорбц. и хроматограф. процессы. 2005. Т. 5. № 6. С. 824–831.
24. Scanning Probe Microscopy Image Processing Software “FemtoScan Online”. Moscow: Advanced Technologies Center. [spm@nanoscopy.org](mailto:spm@nanoscopy.org) (accessed on March 11, 2017).
25. Кудринская В.А., Дмитриенко С.Г. Влияние растворителя на сорбционные свойства полимеров с молекулярными отпечатками кверцетина // Со-

- рбц. и хроматограф. процессы. 2009. Т. 9. № 6. С. 824–829.
26. Яшкин С.Н., Кольцов Л.В., Лосева М.А. Молекулярная адсорбция на границе раздела «жидкий раствор – твердый адсорбент». Самара: Самарский государственный технический университет, 2012.
27. Когановский А.М., Левченко Т.М., Кириченко В.А. Адсорбция растворенных веществ. Киев: Наукова думка, 1977.
28. Липатов Ю.З., Сергеева Л.С. Адсорбция полимеров. Киев: Наукова думка, 1972.
29. Тарасевич Б.Н. ИК спектры основных классов органических веществ: справочные материалы. Москва: МГУ, 2012.
30. Silverstein R.M., Webster F.X. Spectrometric Identification of Organic Compounds. New York: John Wiley & Sons, Inc. 1997.
31. Sing K.S.W., Everett D.H., Haul R.A.W., Moscou L., Pierotti R.A., Rouquerol J., Siemieniewska T. Reporting physisorption data for gas/solid systems with special reference to the determination of surface area and porosity [IUPAC Recommendations 1984] // Pure Appl. Chem. 1985. V. 57. № 4. pp. 603–619.